



پیش‌بینی تغییرات پارامترهای اقلیمی در ایستگاه سنتندج با استفاده از ریز مقیاس نمایی آماری داده‌های مدل‌های BCM2، HADCM3 و CGMR

سمیرا قربانی نژاد^۱، آزاده ارشیا^۱

۱- دانشجوی ارشد آبخیز داری، دانشکده کشاورزی، دانشگاه لرستان

چکیده

تغییر اقلیم از بزرگترین چالش‌های انسان در قرن بیت و یکم است که می‌تواند اثرات شدیدی بر منابع آب، کشاورزی، انرژی و کردشگری داشته باشد. پژوهش پیش رو به بررسی تغییر اقلیم با استفاده از مدل ریز مقیاس کننده BCM2، HADCM3 و CGMR لارس تحت سناریوهای A1B و B1 می‌پردازد. در این تحقیق جهت ریز مقیاس نمایی آماری داده‌های مدل گردش عمومی جو CGMR، BCM2، HADCM3 و CGMR از مدل LARS-WGS استفاده شد. بعد از جمع‌آوری داده‌های روزانه بارش، تابش، بیشینه و کمینه دمای ایستگاه سینوپتیک سنتندج برای دوره پایه ۱۹۸۹-۲۰۰۸ و آماده کردن فایلهای ورودی، مدل برای دوره پایه اجرا شد. ارزیابی مدل، با استفاده از آماره‌های ضریب تعیین (R²)، میانگین مربعات خطای RMSE و ضریب نش-Satcklif (NSE) صورت گرفت. همبستگی در داده‌های بارش، دمای حداقل و دمای حداکثر بین داده‌های دوره پایه در سالهای ۱۹۶۹-۲۰۰۸ و دوره پیش‌بینی شده در سال‌های ۲۰۱۱-۲۰۳۰ مشاهده شد. سپس با استفاده از ریز مقیاس نمایی آماری داده‌های مدل HADCM3، CGMR و BCM2 تحت سناریوهای A1B و B1 در دوره ۲۰۳۰-۲۰۱۱ مشخص گردید که این ایستگاه به طور کلی با افزایش زیاد دما و کاهش بارش روبه رو خواهد بود.

کلمات کلیدی: تغییر اقلیم، ریز مقیاس کردن، مدل LARS-WGS، ایستگاه سینوپتیک سنتندج

مقدمه:

اقلیم سیستم پیچیده‌ای است که عمدتاً به دلیل افزایش گازهای گلخانه‌ای در حال تغییر می‌باشد. مهمترین اثر تغییر اقلیم تاثیرگذاری بر پدیده‌های حدی جوی و اقلیمی همچون طوفان، سیل، تگرگ، خشکسالی، امواج گرمایی و سرمای بی موقع خواهد بود (IPCC، ۲۰۰۷). تغییر اقلیم از بزرگترین چالش‌های انسان در قرن بیت و یکم است که می‌تواند اثرات شدیدی بر منابع آب، کشاورزی، انرژی و کردشگری داشته باشد (Hashmi, ۲۰۰۹). تغییرات دمای کره‌ی زمین و روند رو به افزایش آن با توجه به شرایط آب و هوایی در سراسر جهان به عنوان تغییر اقلیم شناخته می‌شود (Hashmi, ۲۰۱۰). در حال حاضر اقلیم شناسان برای بررسی اثرات تغییر اقلیم، به شبیه‌سازی متغیرهای اقلیمی با استفاده از مدل‌های گردش عمومی جو-اقیانوسی می‌پردازند (Barrow و 2005 Yu). معتبرترین ابزار جهت بررسی اثرات پدیده‌ی تغییر اقلیم بر سیستم‌های مختلف، استفاده از متغیرهای اقلیمی شبیه‌سازی شده توسط مدل گردش عمومی جفت شده جوی-اقیانوسی است (Johnson و همکاران ۲۰۰۶). از آنجایی که اجرای این مدل‌ها برای دوره زمانی طولانی مدت نیازمند وقت زیاد و سرعت‌های بالای پردازش است، برای چیره شدن بر این مشکل ساده سازی‌هایی از جمله کاهش تفکیک فضایی و حذف برخی از فرآیندهای فیزیکی و ترمودینامیکی در مقیاس خرد باید صورت گیرد. این ساده سازی‌ها باعث افزایش خطای مدل‌های گردش عمومی جو و همچنین موجب بروز خطای در پیشینیها و ارزشیابی اقلیم آتی کره زمین می‌شود. برای



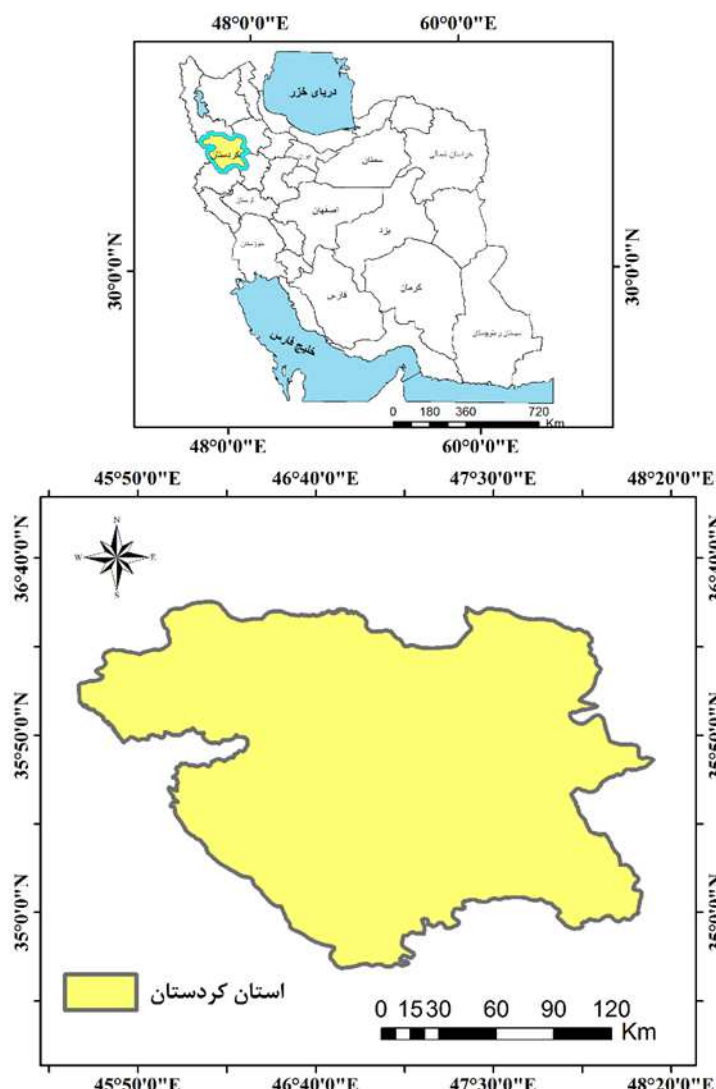
رفع این مشکل، خروجی مدل‌های گردش عمومی جو به دو روش آماری و دینامیکی ریز مقیاس می‌شوند (بابائیان و نجفی نیک، ۱۳۸۹). مدل لارس یکی از مشهورترین مدل‌های مولدهای تصادفی وضع هوا می‌باشد که برای تولید مقادیر روزانه بارش، دمای کمینه، دمای بیشینه، تابش یا ساعت افتتابی در یک ایستگاه، تحت شرایط اقلیم پایه و اینده بکار می‌رود و به طور کلی تولید داده توسط مدل LARS – WG در سه مرحله صورت می‌گیرد که عبارتند از: کالیبره کردن داده‌ها، ارزیابی داده‌ها و تولید داده‌های هواشناسی برای دوره اتی. (شرف و همکاران، ۱۳۹۱). مریم دوستی و همکاران (۱۳۹۲)، به بررسی شاخص‌های اقلیمی حوضه آبخیز تمر در استان گلستان، در شرایط تغییر اقلیم، با کاربرد مدل LARS – WG پرداختند. نتایج حاکی از این است که در مدل HADCM3 تحت سناریوهای A1B و A2 با پیش‌بینی دوره اتی در سالهای ۲۰۴۶-۲۰۶۵، میانگین دما تحت سناریو A2 ۲.۶۸ درجه سانتی گراد و تحت سناریوی A1B ۲.۶۳ درجه افزایش خواهد یافت. میزان بارش نیز در سناریوی A2، ۱۶ درصد و در سناریوی B2 درصد افزایش خواهد داشت. اشرف و همکاران (۱۳۹۰)، با داده‌های مدل گردش عمومی جو HADCM3، تحت سه سناریوی A2، A1B و B1 برای دوره ۲۰۱۱-۲۰۳۵ به بررسی تغییرات فصلی بارش، دمای کمینه، دمای بیشینه و ساعت افتتابی استان خراسان رضوی پرداختند. نتایج نشان داد که در سه فصل پاییز، زمستان و بهار در تمام شهرهای استان به استثنای تربت جم که در هر سه فصل مذکور و نیز کاشمر که در پاییز دارای روند کاهشی می‌باشند، بارش افزایش خواهد یافت، بیشترین میزان بارندگی مربوط به شهر قوچان و کمترین ان متعلق به ایستگاه سرخس می‌باشد. دمای کمینه در همه فصول و طبق هر سه سناریوی مذکور در غالب شهرستانها دارای روند افزایشی است (جز شهرستان سرخس در فصل پاییز بر مبنای سناریوی A1B). در رابطه با دما نیز در سالهای ۲۰۱۱-۲۰۳۵ دمای بیشینه استان خراسان رضوی افزایش و میزان ساعات افتتابی کاهش می‌یابد. بنابراین طبق این نتایج شرایط اقلیمی استان خراسان رضوی در ۲۰ سال اینده تفاوت محسوسی با شرایط فعلی خواهد داشت. امروزه استفاده از انواع مدل‌های ریزمقیاس نمایی اماری مانند: CLIMGEN و SDSM، LARS – WG و BCM2، CGMR تحت سناریوهای B1 و A1B می‌پردازد.

مواد و روش‌ها منطقه مطالعاتی:

منطقه مورد مطالعه در این تحقیق استان کردستان می‌باشد که موقعیت آن در کشور ایران در شکل ۱ نشان داده شده است. استان کردستان یکی از استان‌های ایران است که در غرب کشور واقع شده‌است. مساحت این استان ۲۹,۱۳۷ کیلومتر مربع معادل ۱/۷٪ مساحت کل کشور ایران است. استان کردستان از شمال به استان‌های آذربایجان غربی و زنجان، از جنوب به استان کرمانشاه، از شرق به استان‌های همدان و زنجان و از شرق به کشور عراق محدود است. این استان دارای ۹ شهرستان، ۲۳ شهر، ۲۶ بخش و ۸۳ دهستان می‌باشد. بانه، بیجار، سقز، سنندج، دیواندره، کامیاران، قزو، مریوان و سروآباد از مهمترین شهرهای استان کردستان هستند. استان



کردستان به طور کلی تحت تأثیر دو جریان عمده هوای گرم و سرد قرار دارد و اقلیم‌های گوناگونی را به وجود می‌آورد. بیشترین میزان بارش جوی در ناحیه غربی استان (شهرهای بانه و مریوان) حدود ۸۰۰ میلی‌متر در سال و کمترین میزان بارندگی آن در ناحیه شرقی حدود ۴۰۰ میلی‌متر در سال است. ایستگاه سنتنج به عنوان ایستگاه بررسی شده در این تحقیق در عرض جغرافیایی ۳۵.۲۰ و طول جغرافیایی ۴۷.۰۰ و در ارتفاع ۱۳۷۳.۴ از سطح دریا قرار گرفته است.



شکل (1): موقعیت مکانی شهرستان بروجرد

روش تحقیق:

در این تحقیق جهت ریز مقیاس نمایی آماری داده‌های مدل گردش عمومی جو HADCM3، از مدل LARS-WGS که یکی از مشهورترین مدل‌های مولد داده‌های تصادفی وضع هوا می‌باشد تحت سناریوهای A1B و B1 استفاده شده است. این مدل برای تولید



مقادیر روزانه بارش، دمای کمینه، دمای بیشینه و تابش یا ساعت آفتابی در یک ایستگاه تحت شرایط اقلیم پایه و آینده به کار می‌رود. در جدول ۱ خصوصیات مدل HADCM3 و سه سناریوی تغییر اقلیم نشان داده شده است.

جدول شماره ۱- ویژگی‌های مدل گردش عمومی جو HADCM3 و سناریوهای تغییر اقلیم

خصوصیات	طراح مدل
متغیرهای پیشگویی جوی	دما، مؤلفه‌های افقی سرعت باد، فشار سطح، ظرفیت آب مایع، آب مایع موجود
متغیرهای پیشگویی اقیانوسی	دما، شوری، مؤلفه‌های افقی سرعت باد در جو باروکلینیک، عمق لایه اختلاط
قدرت تفکیک جوی	عرض جغرافیایی ۲/۷۵ و طول جغرافیایی ۳/۷۵ درجه
قدرت تفکیک اقیانوسی	عرض جغرافیایی ۱/۲۵ و طول جغرافیایی ۱/۲۵ درجه
استوا :	۴۱۷ کیلومتر × ۲۸۷ کیلومتر
قدرت تفکیک سطحی	عرض ۴۵ درجه : ۲۹۵ کیلومتر × ۲۸۷ کیلومتر
خصوصیات	رشد سریع اقتصادی، بیشینه رشد جمعیت در نیمه قرن و پس از آن روند کاهشی، رشد سریع فناوری‌های نوین و مؤثر
سناریوهای	A1B
تغییر اقلیم	A2
	همگرایی جمعیت در سطح جهان، تغییر در ساختار اقتصاد (کاهش مواد آلاینده و معرفی منابع فناوری پاک و مؤثر)
	B1

به طور کلی تولید داده به وسیله‌ی مدل LARS-WGS طی سه مرحله صورت می‌گیرد. سه مرحله مذکور شامل کالیبره کردن داده‌ها، ارزیابی داده‌ها و تولید داده‌های هواشناسی برای دوره‌های آتی می‌باشد (Barrow and Semenov 2002). در این مدل، خروجی مدل‌های گردش عمومی جو به روشهای آماری به گونه‌ای ریزمقیاس می‌شوند که به مقدار واقعی بسیار نزدیک باشد. برای کالیبراسیون مدل، بعد از جمع‌آوری داده‌های روزانه بارش، تابش، بیشینه و کمینه دمای ایستگاه سینوپتیک سنتنج برای دوره پایه ۱۹۸۹-۲۰۰۸ و آماده کردن فایل‌های ورودی، مدل برای دوره پایه اجرا می‌شود. از آنجا که مدل LARS-WGS یک مدل تولید تصادفی داده است، خروجی‌های مدل در بخش صحت سنجی مدل در هر بار اجرا متفاوت می‌باشد. به همین دلیل، باید اجراء‌های متفاوتی صورت گیرد و با وزن دهی به هر مقدار تولیدی، میزان خطا به حداقل کاهش یابد. سناریوهای تغییر اقلیم مورد تأیید IPCC سناریوهای A1B و B1 به ترتیب بدینانه و خوب‌بینانه اند که A1B توصیفی از جهانی با رشد سریع اقتصادی و جمعیتی است؛ به طوری که بیشینه رشد جمعیت در نیمه قرن رخ داده و پس از آن روند افزایش جمعیت، کاهشی خواهد بود. سناریوی B1 مورد استفاده در این تحقیق جهانی همگرا با جمعیت جهانی را توصیف می‌کند، اما با تغییرات سریع در ساختارهای اقتصادی نسبت به خدمات و اطلاعات اقتصادی، با کاهش در شدت مادی و معرفی فن آوری‌های پاک و منابع مؤثر است. برای پیش‌بینی تغییرات ماهانه بارش در ایستگاه سنتنج، با استفاده از ریزمقیاس نمایی اماری سناریوی A1B و B1، از مقایسه سه مدل CGRM، HADCM3 و BCM2 استفاده شد. در مرحله ارزیابی مدل، با استفاده از آماره‌های ضریب تعیین (R²)، میانگین مربعات خطا (RMSE) و ضریب نش-ساتکلیف (NSE) که معادلات آنها به ترتیب در روابط ۱ تا ۳ مشخص شده اند، داده‌های تولید شده بارش توسط مدل و داده‌های مشاهده شده (داده‌های واقعی) مورد ارزیابی قرار می‌گیرند. نتایج اجرای مدل در این مرحله در جدول موجود در بخش بحث و نتایج ارائه شده است.



$$R^2 = \frac{[\sum_{i=1}^n (x_i - \bar{x})(y_i - \bar{y})]^2}{\sum_{i=1}^n (x_i - \bar{x})^2 \sum_{i=1}^n (y_i - \bar{y})^2} \quad (1)$$

$$RMSE = \sqrt{\frac{\sum_{i=1}^n (x_i - \bar{x})^2}{n}} \quad (2)$$

$$NSE = \left[1 - \frac{\sum (x_i - \bar{x}_i)^2}{\sum (x_i - \bar{x}_i)^2} \right] \quad (3)$$

که در رابطه ۱ : \bar{x} میانگین کل داده های واقعی، \bar{y} میانگین کل داده های شبیه سازی شده و n تعداد کل نمونه ها می باشد و در رابطه ۲ : \bar{x}_i و \bar{y}_i به ترتیب آمین داده واقعی و شبیه سازی شده توسط مدل است. در رابطه ۳ : \bar{x} داده مشاهده ای، \bar{x}_i داده های شبیه سازی شده و \bar{y}_i میانگین داده های مشاهداتی می باشد. مکانیسم عمل مدل به این صورت است که ان در ابتدا با استفاده از سناریوی تولید داده ماهانه که در برگیرنده رفتار اقلیم پایه می باشد، تمامی داده های ماهانه را مطابق فرمول ۴ محاسبه می کند.

$$F_{fut} = F_{obs} + (F_{GCM}^{fut} - F_{GCM}^{base}) \quad (4)$$

که در اینجا، F_{fut} به معنای اینده و F_{obs} به معنای گذشته است. سپس با حفظ میانگین، انحراف معیار ان ها را مطابق رابطه شماره ۵ تغییر می دهد. خروجی های این مدل شامل دمای کمینه، بیشینه و تابش است. (حق طلب و همکاران، ۱۳۹۲).

$$STD_{Fut} = \frac{STD_{obs}}{STD_{base}} * STD_{Fut} \quad (5)$$

نتیجه گیری:

نتایج و بحث:

در مرحله واسنجی، با محاسبه ضریب تعیین R^2 و NSE برای ایستگاه سندج، همبستگی معنی داری بین داده های دوره پایه و داده های شبیه سازی شده مشاهده شد. این همبستگی در داده های بارش، دمای حداقل و دمای حداکثر بین داده های دوره پایه در سالهای ۱۹۶۹ - ۲۰۰۸ و دوره پیش بینی شده در سال های ۲۰۱۱ - ۲۰۳۰ مشاهده شد.

جدول شماره ۲ - شاخص همبستگی و خطاسنجی برای پارامترهای بارش، دمای حداقل و حداکثر

ایستگاه	شاخص اماری	بارش	دمای حداقل	دمای حداکثر
سنندج	NSE	۰.۹۵	۰.۹۹	۰.۹۹
	RMSE	۰.۲۹	۰.۲۴	۰.۲۹
	R^2	۰.۹۷	۰.۸۵	۰.۹۷

مقایسه داده های مشاهداتی و شبیه سازی در دوره پایه در شکل ۲ نشان داده شده است.

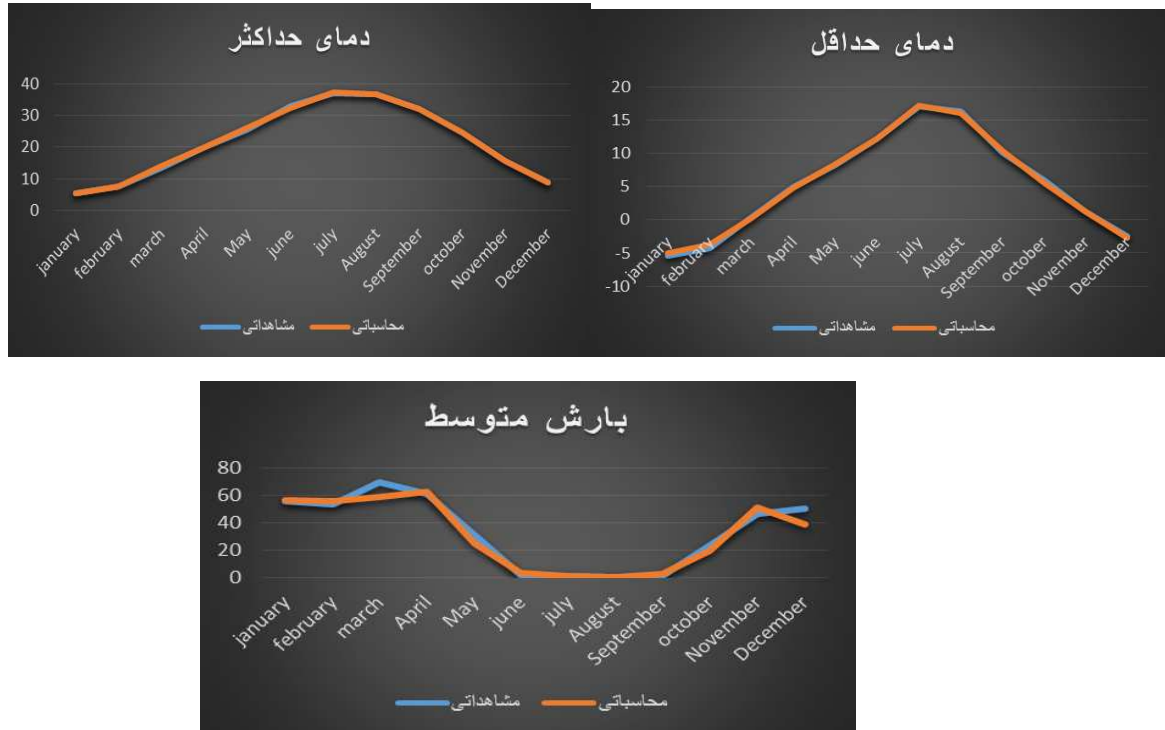


یازدهمین همایش ملی علوم و مهندسی آبخیزداری ایران
توسعه مشارکتی در مدیریت حوزه‌های آبخیز

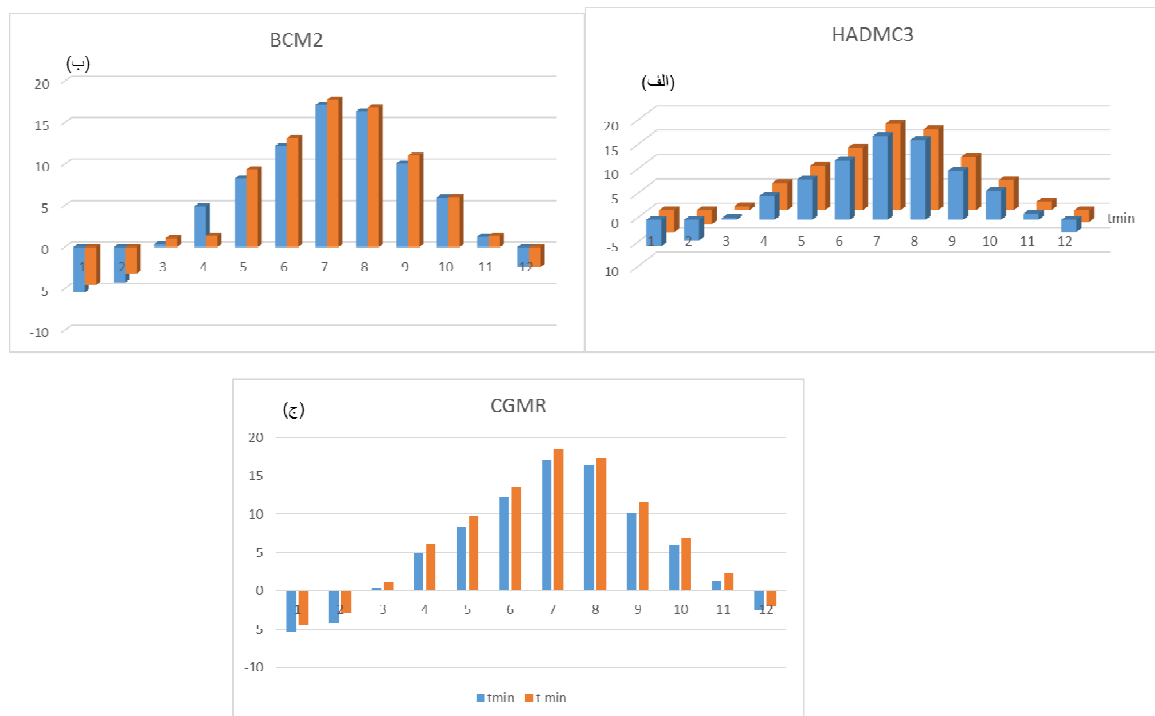
**11th National Conference on Watershed Management Sciences
and Engineering of Iran**
Participatory Development in Watershed Management



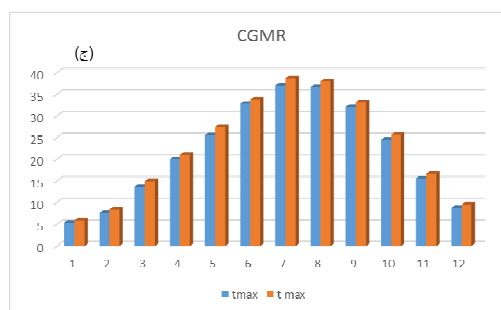
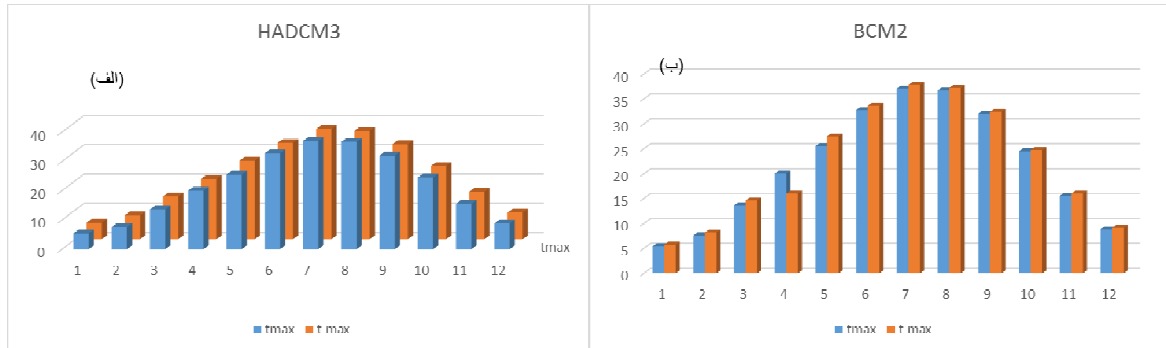
۱۳۹۵ فروردین تاریخ ۲۱
April 19-21, 2016



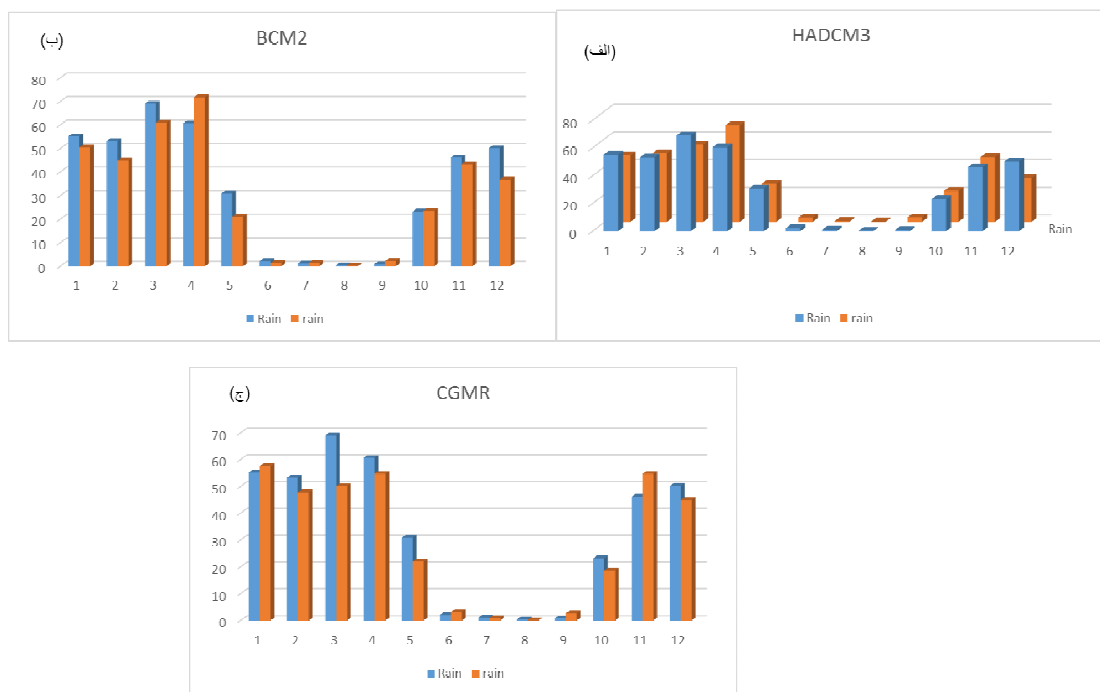
مقایسه داده‌های دماهی حداقل مشاهداتی و شبیه سازی شده دوره آتی در سه مدل اجرا شده در شکل ۳ نشان داده است:



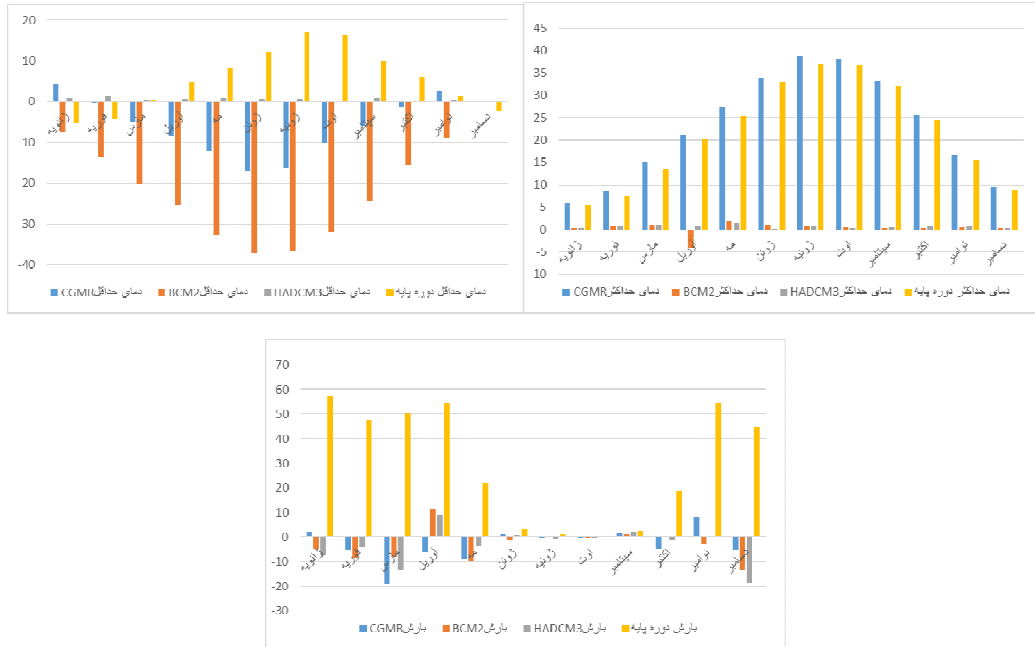
مقایسه داده‌های دماهی حداکثر مشاهداتی و شبیه سازی شده دوره آتی در سه مدل اجرا شده در شکل ۴ نشان داده است:



مقایسه‌ی داده‌های بارش حداکثر مشاهداتی و شبیه سازی شده دوره آتی در سه مدل اجرا شده در شکل ۴ نشان داده شده است:



اختلاف دمای حداقل، حداکثر و بارش مشاهداتی و شبیه سازی توسط سه مدل در ایستگاه سنتنچ در شکل ۵ آمده است:



نتیجه‌گیری:

در این پژوهش ابتدا با اجرای مدل LARS-WGS داده‌های روزانه بارش، دمای کمینه و بیشینه در ایستگاه سینوپتیک سندنج شبیه‌سازی شد که نتایج به دست آمده نشان دهنده توانایی بالای مدل مولد هواشناسی در تولید داده‌های روزانه پارامترهای ذکر شده و موید تحقیقات ذکر شده توسط Semenov و Elshamy و بابائیان و نجفی نیک می‌باشد. سپس با استفاده از ریزمقیاس نمائی اماری داده‌های مدل CGMR، HADCM3 و BCM2 تحت سناریوهای A1B و B1 در دوره ۲۰۱۱-۲۰۳۰ مشخص گردید که این ایستگاه به طور کلی با افزایش زیاد دما و کاهش بارش روبه رو خواهد بود. از میان مدل‌ها M2 کاهش دما را با شدت بیشتری در تمام طول سال نشان می‌دهد. افزایش دمای حداکثر با شدت بالاتری در مدل CGMR نشان داده شده است اما با اینحال شباهت بیشتری به دمای فعلی دارد اما سایر مدل‌ها کاهش دمای حداکثر را نشان می‌دهد. کاهش بارش شدید در تمام طول سال را در تمام همه مدل‌ها نشان داده می‌شود.

منابع:

- ashraf, b., mousavi baygi, m., kamal, g., daوري, k., پيش بيني تغييرات فصلی پارامترهای اقلیمي در ۲۰ سال آتی با استفاده از ریزمقیاس نمایی اماری داده های مدل HADCM3 (مطالعه موردی: استان خراسان رضوی)، نشریه اب و خاک (علوم و صنایع کشاورزی)، جلد ۲۵، شماره چهار، مهر - ابان ۱۳۹۰، ص ۹۴۵- ۹۵۷.
- بابائیان، ایمان و زهرا نجفی نیک (۱۳۸۹). تحلیل تغییر اقلیم استان خراسان رضوی در دوره ۲۰۱۰-۳۹ با استفاده از ریزگردانی خروجی الگوی GCM مجله جغرافیا و توسعه ناحیه ای، شماره پانزدهم، پاییز و زمستان.
- دوستی، m., حبیب نژاد روشن، m., شاهدی، k., میر یعقوب زاده، m., بررسی شاخص های اقلیمی حوضه آبخیز تمر استان گلستان در شرایط تغییر اقلیم با کاربرد مدل LARS - WG - WG، مجله فیزیک زمین و فضا، دوره ۳۹، شماره ۴، ۱۳۹۲، ص ۱۸۹ - ۱۷۷.
- IPCC. 2007. Summary for policy makers Climate change: The physical science basis. Contribution of working group I to the forth assessment report. Cambridge University Press, 881 PP.



- Hashmi, M. Z., Shamseldin, .A. Y., and Melville, B. W., (2010). "Comparison of SDSM and LARS-WG for simulation and downscaling of extreme precipitation events in a watershed." Stoch Environ Res Risk Assess.
- Hashmi, M. Z., Shamseldin, A.Y., and Melville, B.W., (2009). "Downscaling of future rainfall extreme events: a weather generator based approach." 18th World IMACS/ MODSIM Congress, Cairns, Australia, 13-17
- Barrow, E., G. Yu., 2005. Climate Scenario for Alberta. A report prepared for the prairie Adaptation Research Climate Research Services.
- Semenov, M.A., 2008. Simulation of extreme weather events by a stochastic weather generator. Climate Research 35, 203-212.
- Barrow, E., G. Yu., 2005. Climate Scenario for Alberta. A report prepared for the prarie Adaptation Research Climate Research Services.
- Johnson G.L., Hanson C.L., Hardegree S.P., and Ballard E.B. 2006. Stochastic weather simulation: overview and analysis of two commonly used models. Journal Applied Meteorology, 35: 1878-1896.